

文章编号: 1004-0609(2003)02-0437-05

# SiO<sub>2</sub> 添加量对 TiO<sub>2</sub> 薄膜表面特征及亲水性的影响<sup>①</sup>

尹衍升<sup>1</sup>, 关凯书<sup>2</sup>, 赵 虹<sup>3</sup>

(1. 山东大学 材料液态结构及其遗传性教育部重点实验室, 山东省工程陶瓷重点实验室, 济南 250061;

2. 华东理工大学 化工机械研究所, 上海 200237; 3. 黑龙江农垦科学院工程所, 佳木斯 154007)

**摘要:** 采用溶胶-凝胶法在载玻片表面制备了均匀透明的 TiO<sub>2</sub>/SiO<sub>2</sub> 超亲水性薄膜。利用 XRD、红外光谱(IR)和分光光度计, 研究了 SiO<sub>2</sub> 添加量对薄膜微结构、透光率、亲水性的影响。结果表明: 添加 SiO<sub>2</sub> 后, 薄膜中 TiO<sub>2</sub> 晶粒尺寸变小; 在薄膜中, TiO<sub>2</sub> 和 SiO<sub>2</sub> 分别单独形成颗粒, 但有部分 Ti—O—Si 键形成, 存在部分复合氧化物; 由于取代反应, 复合氧化物中表面形成 Lewis 酸, 薄膜表面吸附的羟基含量增多且稳定, 可提高 TiO<sub>2</sub> 薄膜的超亲水特性, 其超亲水性状态在暗处可保持很长时间; SiO<sub>2</sub> 添加量为 40% 时的薄膜亲水性最好。

**关键词:** 溶胶-凝胶法; TiO<sub>2</sub>/SiO<sub>2</sub> 薄膜; 超亲水性

**中图分类号:** O 484

**文献标识码:** A

最近研究发现, 在紫外线的照射下, TiO<sub>2</sub> 表面具有高度的亲水性, 这种高亲水性 TiO<sub>2</sub> 表面具有防雾和自动清洁的特性<sup>[1-7]</sup>。当水在 TiO<sub>2</sub> 薄膜表面的接触角小于 15° 时具有高的水流动性, 小于 10° 时有自清洁效果, 小于 7° 时有防雾效果。TiO<sub>2</sub> 薄膜表面的超亲水性可以与其光催化活性形成互补, 使薄膜表面长期保持自洁净和易清洗。这是因为超亲水性 TiO<sub>2</sub> 薄膜表面始终维持一层薄薄的水膜, 当油污等有机污物沉积在表面, 水膜可以隔断油污与 TiO<sub>2</sub> 薄膜表面的直接接触, 使得有机污物不能与薄膜表面形成牢固的结合。所以, 从某种程度上说, 对于防雾自清洁玻璃表面, 超亲水性与光催化活性一样重要。利用这些特性, TiO<sub>2</sub> 薄膜可用于汽车侧视镜、窗膜、室外瓦片、高速公路的护墙等方面, 还能制成各种亲水涂料, 如珊瑚吸水膜等, 具有广阔的应用前景。由于自然界或照明光源中的紫外线能够维持它的亲水性能, 因此在窗户、镜子等玻璃表面镀上 TiO<sub>2</sub> 薄膜就可起到透明防雾的效果。

紫外光照射下 TiO<sub>2</sub> 薄膜具有良好的超亲水性, 但停止光照射一段时间后, 其表面又恢复到疏水状态, 不利于实际应用。TiO<sub>2</sub> 与 SiO<sub>2</sub> 复合薄膜可有效提高薄膜的超亲水效果<sup>[8-10]</sup>, 这主要是由于 SiO<sub>2</sub> 材料容易在表面形成较厚的物理吸附水层, 使薄膜表面显示亲水特性, 且能阻止空气中的氧在薄膜表面的吸附, 使化学吸附水到氧的置换变慢, 从而延长

了其超亲水性的持续时间, 使薄膜在停止光照后可保持较长时间的亲水性。但对加入 SiO<sub>2</sub> 的复合薄膜的亲水机理, 特别是表面光诱导引起的表面物理化学性能的变化研究较少。本文作者用溶胶-凝胶方法制备了 TiO<sub>2</sub> 与 SiO<sub>2</sub> 复合薄膜, 并对其表面物理化学性质及亲水性能进行了分析。

## 1 实验

以化学纯的钛酸四丁酯[Ti(OC<sub>4</sub>H<sub>9</sub>)<sub>4</sub>]、正硅酸乙酯(TEOS)、水、盐酸和酒精为原料, 将正硅酸乙酯(TEOS)、水、盐酸和酒精以一定的比例混合预水解 1h, 随后加入钛酸丁酯、酒精的混合物, 搅拌 30 min, 再加入适量的水、酒精和盐酸, 继续搅拌 1h, 稳定一段时间后即可获得均匀透明的 TiO<sub>2</sub>-SiO<sub>2</sub> 溶胶。改变钛酸四丁酯[Ti(OC<sub>4</sub>H<sub>9</sub>)<sub>4</sub>]、正硅酸乙酯(TEOS) 的比例可得到不同比例的 SiO<sub>2</sub> 薄膜, SiO<sub>2</sub> 含量(摩尔分数)分别为 0、10%、20%、30%、40% 和 50%。

以尺寸为 25 mm × 75 mm × 2 mm 的载玻片为涂层载体, 涂膜前对玻璃表面进行清洗。TiO<sub>2</sub> 薄膜的制备采用浸涂法, 常温下干燥成凝胶膜, 然后在 250 °C 烘干, 650 °C 热处理保温 1 h, 自然冷却到室温, 就可在玻璃表面得到相应的薄膜。按以上步骤重复操作可得到不同层数及厚度的薄膜。通过测量

<sup>①</sup> 基金项目: 山东省重点自然科学基金资助项目(Z99F02)

收稿日期: 2002-05-09 修订日期: 2002-07-09 作者简介: 尹衍升(1956-), 男, 教授, 博士。

通讯联系人: 关凯书, 男, 副教授, 博士; Tel: +86-21-64253055; E-mail: guankaishu@21cn.com

薄膜表面水滴的直径来计算薄膜的润湿角, 使用X射线衍射测试表面结构, 使用Fourier变换红外光谱仪测定薄膜表面基团性质。为观察表面吸附水的能力, 测试前将样品在空气中放置72 h, 以便让样品吸附空气中的水分。最后使用SP-2000 UV型紫外可见分光光度计测定薄膜在200~800 nm波长范围内的光透过率。

## 2 结果分析

### 2.1 XRD分析

图1所示为薄膜的X射线衍射图谱。从图1(a)  $\text{TiO}_2$  薄膜可以看出, 在 $25.3^\circ$ 出现又高又尖的峰, 该峰为锐钛矿(101)面, 另有2个较高的峰出现在 $37.8^\circ$ 和 $47.0^\circ$ 处, 分别为锐钛矿(004)面和(200)面, 说明 $\text{TiO}_2$ 薄膜为锐钛矿相。图1(b)和(c)所示分别为含 $\text{SiO}_2$  20%和40%的复合薄膜XRD图谱, 均表明 $\text{TiO}_2$ 薄膜为锐钛矿结构。

XRD特征衍射峰的半高宽反比于参加衍射的晶胞数N。晶体尺寸越小, N越小, 衍射峰就宽化。含 $\text{SiO}_2$  20%和40%  $\text{SiO}_2$ 的复合薄膜的衍射峰较纯 $\text{TiO}_2$ 薄膜的宽, 说明 $\text{TiO}_2$ 晶粒尺寸变小。这可能是加入 $\text{SiO}_2$ 后,  $\text{TiO}_2$ 粒子间的长大接触被 $\text{SiO}_2$ 阻碍, 而且随 $\text{SiO}_2$ 含量增大,  $\text{TiO}_2$ 晶粒生长的抑制力增大, 晶粒变得越来越小。

### 2.2 红外光谱(IR)结构分析

图2所示为不同 $\text{SiO}_2$ 含量的 $\text{TiO}_2/\text{SiO}_2$ 薄膜红外透射光谱。在 $3400\text{ cm}^{-1}$ 附近的吸收峰来自于表面O—H的伸缩振动的贡献<sup>[11]</sup>; 在 $1600\text{ cm}^{-1}$ 处

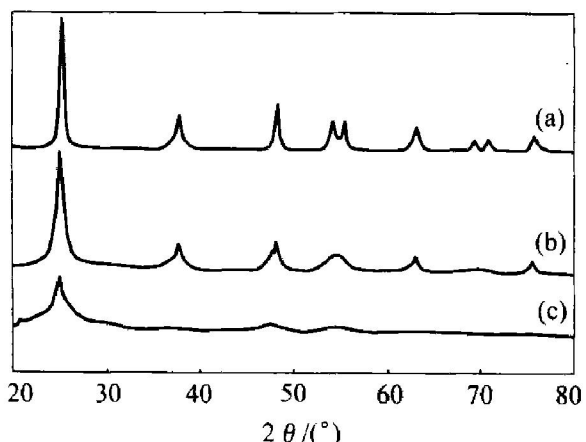


图1  $\text{TiO}_2/\text{SiO}_2$  复合薄膜XRD图谱

Fig. 1 XRD patterns of  $\text{TiO}_2/\text{SiO}_2$  composite films

(a)  $-x(\text{SiO}_2) = 0$ ; (b)  $-x(\text{SiO}_2) = 20\%$ ;

(c)  $-x(\text{SiO}_2) = 40\%$

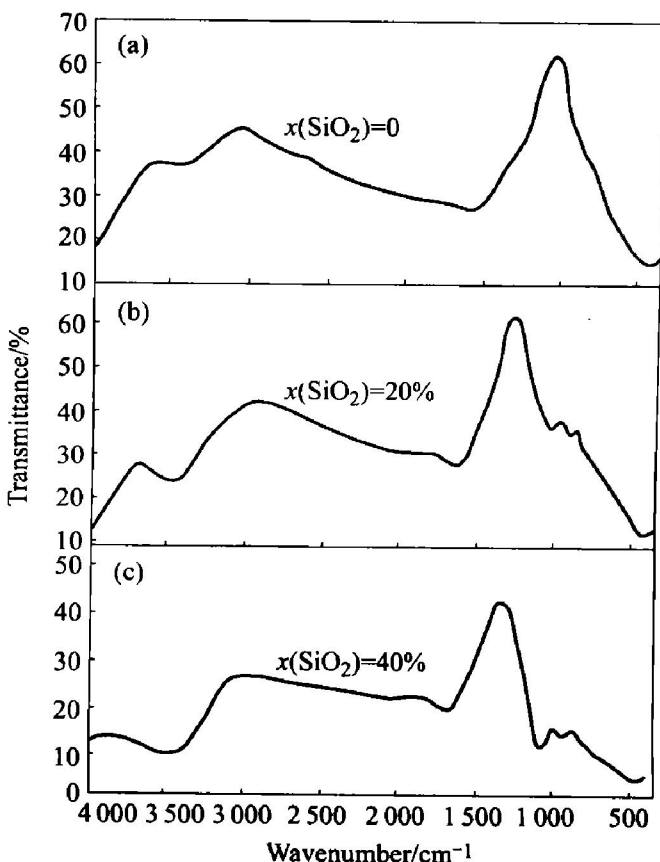


图2  $\text{TiO}_2/\text{SiO}_2$  薄膜FTIR分析结果  
Fig. 2 FTIR spectra of  $\text{TiO}_2/\text{SiO}_2$  films

的吸收峰为 $\text{TiO}_2$ 薄膜结构水及H—O—H键之间的弯曲振动, 与凝胶中存在的少量吸附水有关; 在 $440\text{ cm}^{-1}$ 附近的吸收峰是 $\text{TiO}_2$ 晶体和表面的Ti—O键伸缩振动所致。在图2(b)和(c)所示的曲线中,  $1050\text{ cm}^{-1}$ 和 $950\text{ cm}^{-1}$ 处存在2个新的吸收峰, 分别为Si—O—Si的不对称伸缩振动峰和Ti—O—Si不对称伸缩振动峰, 且随着 $\text{SiO}_2$ 含量的增加, 这2个峰的吸收加强, 同时在 $3400\text{ cm}^{-1}$ 附近的吸收水峰也明显加强, 说明 $\text{TiO}_2/\text{SiO}_2$ 具有强的解离吸附水的能力。综合以上对各吸收峰分析可以得出如下结论:  $\text{TiO}_2/\text{SiO}_2$ 薄膜内 $\text{TiO}_2$ 和 $\text{SiO}_2$ 既独立成相, 也存在复合氧化物, 表面吸附羟基(或水)比不含 $\text{SiO}_2$ 的增加, 说明吸水性增强。

### 2.3 紫外可见光透过光谱分析

图3所示为载玻片基体及 $\text{SiO}_2$ 含量不同的薄膜试样在800 nm波长内的光透过曲线。由图可知, 载玻片基体吸收限约为280 nm, 镀 $\text{TiO}_2$ 膜的载玻片吸收边缘波长发生了明显的红移, 其吸收边缘波长在330 nm附近, 但这与禁带宽度为3.2 eV、其吸收边缘波长为387.5 nm的 $\text{TiO}_2$ 相比, 吸收边缘波长仍显示了显著的“蓝移”。这是由于在溶胶-凝胶工艺制备的 $\text{TiO}_2$ 膜中, 其晶粒尺寸较小, 量子尺

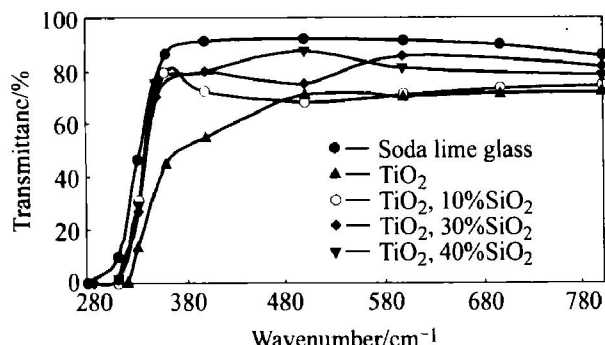


图 3 载玻片基体和几种薄膜的紫外可见光透光率曲线

**Fig. 3** UV-Vis transmittance spectra of soda lime glass, coated  $\text{TiO}_2$  films containing  $\text{SiO}_2$  of 0, 10%, 30% and 40% by repeating two coating cycles, respectively

寸效应导致  $\text{TiO}_2$  的禁带变宽。由于  $\text{TiO}_2/\text{SiO}_2$  复合膜中  $\text{TiO}_2$  的晶粒尺寸比  $\text{TiO}_2$  薄膜中  $\text{TiO}_2$  的晶粒尺寸更小, 因而  $\text{TiO}_2/\text{SiO}_2$  复合膜的吸收边缘波长相对于  $\text{TiO}_2$  膜的吸收边缘波长发生了“蓝移”, 约为 320 nm。

玻璃基体的光透过率最高, 为 90% 左右; 而  $\text{TiO}_2$  膜的光透过率较低, 70% 左右; 加入  $\text{SiO}_2$  后的  $\text{TiO}_2$  薄膜光透过率均高于未加  $\text{SiO}_2$  的薄膜试样, 且随着  $\text{SiO}_2$  添加量的增加, 光透过率逐渐增大,  $\text{SiO}_2$  含量为 40% 的薄膜光透过率已接近玻璃基体的透过率。这主要是由于随着添加  $\text{SiO}_2$ ,  $\text{TiO}_2$  晶粒尺寸变小, 并引起光散射变小, 光透过率增大。

## 2.4 润湿角

亲水性实验采用由水滴直径测量计算接触角的方法进行。利用微量进样器在薄膜表面上滴 1  $\mu\text{L}$  的水滴, 在读数显微镜下测量水滴的直径。假使水滴在表面呈球冠形, 通过球冠体积公式可以算出水滴与薄膜表面的接触角。

表 1 所列为  $\text{TiO}_2/\text{SiO}_2$  薄膜在紫外光照射 1 h 后的润湿角。纯  $\text{TiO}_2$  的润湿角大约为  $10^\circ$ , 含 40%  $\text{SiO}_2$  的试样的润湿角最小, 接近零。因此, 加入  $\text{SiO}_2$  后, 薄膜的亲水性大大改善, 且以含 40%  $\text{SiO}_2$  的薄膜润湿性最好。将具有亲水特性的各组分薄膜置于暗中 24 h, 再次测定薄膜的润湿角, 纯  $\text{TiO}_2$  薄膜很快失去亲水特性, 与水的接触角接近于未光照前的状态。含 10% 和 50%  $\text{SiO}_2$  的  $\text{TiO}_2$  薄膜与水的接触角也有较大提高, 但  $\text{SiO}_2$  含量为 30% 和 40% 的薄膜仍维持良好的亲水性。

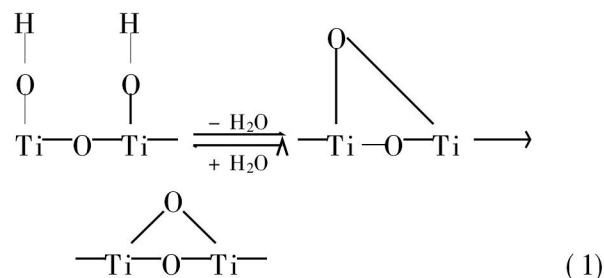
表 1  $\text{TiO}_2/\text{SiO}_2$  薄膜表面亲水角**Table 1** Contact angle of surface of  $\text{TiO}_2/\text{SiO}_2$  films

$x(\text{SiO}_2)/\%$	Contact angle/° (1 h UV irradiation)	Contact angle/° (In dark place for 24 h)
0	10	30
10	10	16
20	7	15
30	5	7
40	3	6
50	9	13

## 3 讨论

光照条件下,  $\text{TiO}_2$  表面的超亲水特性起因于其表面结构的变化。即在紫外光照射条件下,  $\text{TiO}_2$  价带电子被激发到导带, 在表面生成电子空穴对, 电子与  $\text{Ti}^{4+}$  反应, 空穴则与表面桥氧离子反应, 分别形成正三价的钛离子和氧空位( $\text{Ti}^{4+} + \text{e} \rightarrow \text{Ti}^{3+}$ ,  $\text{O}^{2-} + 2\text{h}^+ \rightarrow 1/2\text{O}_2$ )。此时, 空气中的水解离吸附在氧空位中, 成为化学吸附水(表面羟基), 化学吸附水可进一步吸附空气中的水分, 形成物理水吸附层, 即在  $\text{Ti}^{3+}$  缺陷周围形成了高度亲水的微区, 而表面剩余区域仍保持疏水性, 这样就在  $\text{TiO}_2$  表面构成了均匀分布的纳米尺寸分离的亲水和亲油微区, 类似于二维的毛细管现象。由于水滴尺寸远远大于亲水面积, 故宏观上  $\text{TiO}_2$  表面表现出亲水特性。滴下的水被亲水微区所吸附, 从而浸润表面。停止紫外光照射后, 化学吸附的羟基被空气中的氧取代,  $\text{TiO}_2$  表面又恢复到疏水性状态<sup>[1]</sup>。

无论锐钛型, 还是金红石型,  $\text{Ti}-\text{O}$  键的距离均很小且不等长: 锐钛型为 0.193 7 nm 和 0.196 4 nm; 金红石型为 0.194 4 nm 和 0.198 8 nm。 $\text{Ti}-\text{O}$  键的不平衡强烈吸引, 使  $\text{TiO}_2$  分子的极性很强,  $\text{TiO}_2$  表面吸附的水因极化而发生解离, 容易形成羟基。 $\text{TiO}_2$  的比表面积越大, 表面羟基数量越多, 然而随处理温度的升高,  $\text{TiO}_2$  的比表面积和表面羟基迅速下降。这个转换过程可用式(1)表示:



$\text{TiO}_2$  的表面羟基因加热首先由左向右进行脱水

反应, 形成较不稳定的氧化物, 但反应可逆, 氧化物可由右向左进行反应, 发生水合; 温度在 350 ℃以上时, 氧化物则继续向右进行反应, 形成晶格氧而不易再水合。这种表面羟基的特征结构, 可使纳米 TiO<sub>2</sub> 作为广义酸或广义碱与其它改性剂结合, 从而可对 TiO<sub>2</sub> 光化活性进行组合。

当半导体 TiO<sub>2</sub> 和绝缘体 SiO<sub>2</sub> 复合时常常会产生一些特殊的性质, 其中酸性的变化是值得注意的, 因为羟基化半导体表面与酸性有较大的关系。事实上, 复合氧化物比单个组成氧化物均表现出更高的酸性。因为当二组分氧化物形成一个相, 由于各种金属离子的配位及电负性等的不同, 会形成了新的酸位。文献[7]认为当由于取代引起过剩负电荷时, 半导体吸引质子而形成 Brønsted 酸位, 而当过剩正电荷时, 则形成 Lewis 酸位。

根据文献[12], 电荷差是将一个键上由阳离子和阴离子算出的静电结合差再乘以阳离子的配位数的乘积。TiO<sub>2</sub>-SiO<sub>2</sub> 的模型结构中, TiO<sub>2</sub> 为八面配位体, 即 1 个钛原子与 6 个氧原子相连, 而 SiO<sub>2</sub> 为四面体配位, 即 1 个硅与 4 个氧原子相连。由于钛离子与硅离子均为四价态, 因此, 对于四配位的硅离子, 每一个键的电荷为 1, 而对于六配位的钛离子, 每一个键的电荷数为 4/6, 当硅原子进入 TiO<sub>2</sub> 晶格时, 保持其原有的配位数。此时, 与四配位 Si<sup>4+</sup> 所成的键中, 来自氧离子的负电荷每个键只有 4/6, 但从 Si<sup>4+</sup> 本身来看, 每个键的正电荷为 1。即在四配位 Si<sup>4+</sup> 的局部结构中, 硅提供给氧的单键正电荷为 1, 而每个键氧提供给硅的负电荷为 2/3。因此电荷差为(+ 4/4 - 2/3) × 4 = + 4/3, 即在此区域有高的电子亲合能, 成为 Lewis 酸或强的受体表面态<sup>[12]</sup>。由于酸性的变化使复合薄膜表面更容易吸附羟基, 进而提高其超亲水性。

当 TiO<sub>2</sub> 与 SiO<sub>2</sub> 相复合时, 光照条件下, TiO<sub>2</sub>/SiO<sub>2</sub> 薄膜表面物理吸附水扩散至 SiO<sub>2</sub> 处及复合氧化物处, 成为稳定的物理吸附水层。停止光照射, 这些吸附水可稳定 TiO<sub>2</sub> 表面的 Ti<sup>3+</sup>-OH 结构, 使 TiO<sub>2</sub> 表面在暗中也能维持长时间的亲水特性。但 SiO<sub>2</sub> 的含量过高时, 表面被较多的 SiO<sub>2</sub> 所占据, TiO<sub>2</sub> 有效表面减少, 不易受光激发产生亲水性的纳米微区, 故其超亲水性能下降。

## 4 结论

1) 在 TiO<sub>2</sub> 薄膜中添加 SiO<sub>2</sub>, TiO<sub>2</sub> 的晶型转变

和晶粒生长受到更大抑制, 晶粒生长变缓, 使得复合薄膜中 TiO<sub>2</sub> 晶粒尺寸变小, 薄膜的吸收边缘波长发生“蓝移”, 光透过率提高。

2) 在薄膜中, 一部分 SiO<sub>2</sub> 单独形成颗粒, 一部分与 TiO<sub>2</sub> 复合形成复合氧化物。

3) 加入 SiO<sub>2</sub> 后复合薄膜表面酸性提高形成 Lewis 酸, 羟基含量增多且稳定, 可提高 TiO<sub>2</sub> 薄膜的超亲水特性, 在本实验中, SiO<sub>2</sub> 最佳引入量约为 40% (摩尔分数)。

## REFERENCES

- [1] Wang R, Hashimoto K, Fujishima A, et al. Light-induced amphiphilic surfaces [J]. Nature, 1997, 388(31): 431 - 432.
- [2] Wang R, Sakira N, Fujishima A, et al. Studies of surface wettability conversion on TiO<sub>2</sub> single-crystal surfaces [J]. J Phys Chem B, 1999, 103: 2188 - 2194.
- [3] Watanabe T, Fukayama S, Fujishima M. Photocatalytic activity and photo-induced wettability conversion of TiO<sub>2</sub> thin film prepared by sol-gel process on a soda-lime glass [J]. J Sol-Gel Sci & Tech, 2000(19): 61 - 76.
- [4] Fujishima A, Rao T N, Tryk D A. Titanium dioxide photocatalysis [J]. J Photochemistry and Photobiology, 2000(1): 1 - 21.
- [5] Hata S, Kai Y, Yamanaka I, et al. Development of hydrophilic outside mirror coated with titania photocatalyst [J]. JSAE Review, 2000, 21(1): 97 - 102.
- [6] Watanabe T. Super-hydrophilic photocatalyst and its application [J]. Bull Ceram Soc Jpn, 1996, 31(10): 837 - 840.
- [7] Watanabe T, Nakajima A, Wang R, et al. Photocatalytic activity and photoinduced hydrophilicity of titanium dioxide coated glass [J]. Thin Solid Films, 1999, 351: 260 - 263.
- [8] Feng A, Benjamin J, Zuhair M C, et al. Wettability of transition metal oxide surfaces [J]. Material Science and Engineering A, 1998, A242: 50 - 56.
- [9] Machida M, Norimoto K, Watanabe T, et al. The effect of SiO<sub>2</sub> addition in super-hydrophilic property of TiO<sub>2</sub> photocatalyst [J]. J Mater Sci, 1999, 34: 2569 - 2574.
- [10] YU Jianguo, ZHAO X J, Jimmy C, et al. The grain size and surface hydroxyl content of super-hydrophilic TiO<sub>2</sub>/SiO<sub>2</sub> composite nanometer thin films [J]. J Mater Sci Lett, 2001, 20: 1745 - 1748.
- [11] 翟继卫, 张良莹, 姚熹. 溶胶-凝胶制备 TiO<sub>2</sub>/SiO<sub>2</sub> 复合薄膜的 FT-IR 表征 [J]. 功能材料, 1997, 28(5): 490 - 500.
- ZHAI Jiwei, ZHANG Liangying, YAO Xi. Study of the FT-IR for sol-gel coating TiO<sub>2</sub>/SiO<sub>2</sub> composite thin films [J].

- Functional Materials, 1997, 28(5): 490–500.
- [12] 清山哲郎. 金属氧化物及其催化作用[M]. 合肥: 中国科学技术大学出版社, 1991. 247.
- Seiyama T R. Metallic Oxides and Its Catalytic Effect[M]. Hefei: China Science and Technology University Press, 1997. 247.

## Effect of $\text{SiO}_2$ addition on surface structural and super-hydrophilic property of $\text{TiO}_2$ films

YIN Yan-sheng<sup>1</sup>, GUAN Kai-shu<sup>2</sup>, ZHAO Hong<sup>3</sup>

- (1. Key Lab for Liquid Structure and Heredity of Material, Ministry of Education, Engineering Ceramics Key Lab of Shandong Province, Shandong University, Jinan 250061, China;  
2. Research Institute of Chemical Equipment, East China University of Science and Technology, Shanghai 200237, China;  
3. Heilongjiang Academy of Land Reclamation Sciences, Jiamusi 154007, China)

**Abstract:** The relationship between the effect and the amount of  $\text{SiO}_2$  addition on photo-generated hydrophilicity of  $\text{TiO}_2$  thin film was investigated by X-ray diffraction, UV-VIS spectrum and FTIR. It is found that the addition of 40%  $\text{SiO}_2$  in mole fraction to  $\text{TiO}_2$  is the most effective for contact angle of water. The  $\text{SiO}_2$  addition has a suppressive effect on the crystal growth of  $\text{TiO}_2$  in calcination, and the absorption edge  $\text{TiO}_2$ - $\text{SiO}_2$  film shows a pseudo-'blue shift' owing to quantum size effects.  $\text{SiO}_2$  and  $\text{TiO}_2$  form single oxide particle in the film, but a part of complex oxide may be formed also. The Ti—O—Si bond in  $\text{TiO}_2$ / $\text{SiO}_2$  film increases the acidity and forms Lewis acid which results the increasing of the hydroxyl content in the composite films. The hydrophilicity and the capability of holding absorbed water of  $\text{TiO}_2$ / $\text{SiO}_2$  film are increased during UV irradiation, and the super-hydrophilic state can be maintained for a long time in dark place.

**Key words:** sol-gel;  $\text{TiO}_2$ / $\text{SiO}_2$  composite films; super-hydrophilic property

(编辑 何学锋)